

©1995 г.

КРУПНОМАСШТАБНЫЕ СКОПЛЕНИЯ ЭЛЕКТРИЧЕСКИ АКТИВНЫХ ДЕФЕКТОВ В МОНОКРИСТАЛЛАХ InP : As И InP : Ga

B.A.Юрьев, B.P.Калинушкин

Институт общей физики Российской академии наук,
117942, Москва, Россия

(Получена 29 августа 1994 г. Принята к печати 31 октября 1994 г.)

Методом малоуглового рассеяния света с длиной волны в среднем инфракрасном диапазоне проведено исследование крупномасштабных скоплений электрически активных дефектов в монокристаллах InP : As и InP : Ga.

Легирование изовалентной примесью In хорошо зарекомендовало себя как метод получения бездислокационного полуизолирующего GaAs. По аналогии с этим методом неоднократно предпринимались попытки получения малодислокационного InP путем легирования материала примесями мышьяка и галлия, вводимыми в высокой концентрации (до 10^{20} см $^{-3}$) в процессе роста кристалла. По некоторым данным, эти попытки увенчались успехом [1]. Нам, однако, не пришлось работать с подобным материалом. Тем не менее исследование крупномасштабных скоплений электрически активных дефектов (КЭД) в фосфиде индия, легированном изовалентными примесями, помогает установить общие закономерности появления крупномасштабных дефектов недислокационной природы в этом материале.

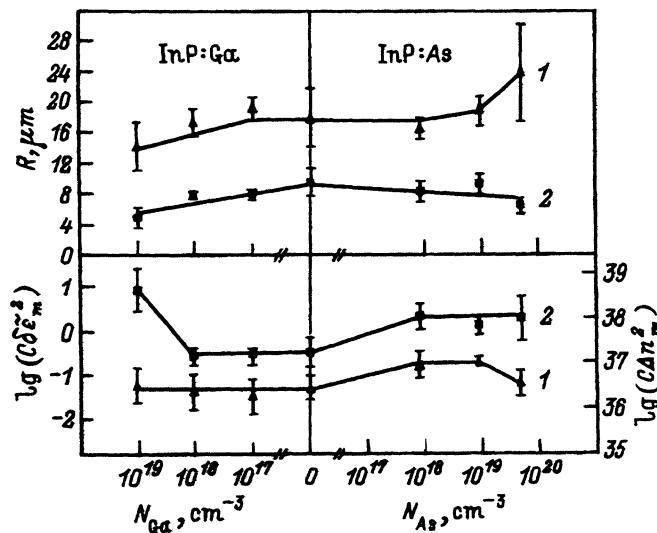
Как и в работах [2,3], где впервые была представлена модель КЭД в InP, исследование в настоящей работе проводилось методом малоуглового рассеяния света среднего инфракрасного (ИК) диапазона [4–6]. Кристаллы выращивались методом Чохральского с жидкостной герметизацией расплава. Основные электрофизические параметры исследованных образцов представлены в таблице.

На рисунке представлены параметры крупномасштабных скоплений электрически активных дефектов R , $C\Delta n_m^2$, $C\delta\epsilon_m^2$ в зависимости от концентрации легирующей примеси N_{Ga} , N_{As} , где R — радиус скоплений, C — концентрация скоплений, Δn_m — эффективная максимальная концентрация носителей в их объеме, $\delta\epsilon_m$ — максимальное относительное

Легирующая примесь	Ga			As		
Концентрация примеси в твердом растворе, см^{-3}	10^{19}	10^{18}	10^{17}	$8 \cdot 10^{17}$	$9 \cdot 10^{18}$	$5 \cdot 10^{19}$
Направление роста	$\langle 111 \rangle$	$\langle 100 \rangle$	$\langle 100 \rangle$	$\langle 111 \rangle$	$\langle 111 \rangle$	$\langle 111 \rangle$
Концентрация электронов, 10^{16} см^{-3}	2.9	3.4	2.0	1.4	1.8	2.9
Подвижность электронов, $10^3 \text{ см}^2/(\text{В} \cdot \text{с})$	4.1	4.05	4.2	4.2	4.0	3.2

изменение диэлектрической проницаемости в КЭД, см. [2-4]. Усреднение производилось по результатам измерения параметров скоплений в разных точках пластин с одинаковой концентрацией легирующей примеси, вертикальные отрезки на рисунке показывают статистический разброс этих результатов. Видно, что с увеличением концентрации галлия в кристалле от 10^{17} до 10^{19} см^{-3} несколько уменьшается средний размер скоплений, при этом параметры концентрации $C\Delta n_m^2$ или $C\delta\epsilon_m^2$ не изменяются в крупных скоплениях и заметно растут в средних при концентрации галлия 10^{19} см^{-3} (классификацию скоплений в InP см. в [2,3]).

Иначе ведут себя скопления в монокристаллах, легированных мышьяком. Средний размер крупных скоплений ощутимо увеличивается



Параметры крупномасштабных скоплений электрически активных дефектов R , $C\Delta n_m^2$, $C\delta\epsilon_m^2$ в зависимости от концентрации изовалентной примеси в N_{Ga} , N_{As} в фосфиде индия. Скопления: 1 — крупные, 2 — средние.

с ростом уровня легирования материала, при этом, однако, возраста-
ет и разброс размеров неоднородностей. Размеры средних скоплений,
как и в материале, легированном галлием, уменьшаются. Параметр
концентрации изменяется слабо — несколько увеличивается при уров-
не легирования $8 \cdot 10^{17} \text{ см}^{-3}$ и возвращается в крупных скоплениях к
значениям, характерным для нелегированного материала, при концен-
трации мышьяка $5 \cdot 10^{19} \text{ см}^{-3}$.

Вряд ли указанные изменения связаны непосредственно с тем, что
легирующая примесь стала основой скоплений (хотя, конечно, не ис-
ключено и это). По-видимому, основа скоплений в InP : As и InP : Ga та
же, что и в нелегированном InP, т.е. центр In_p (индий на месте фосфо-
ра) [2,3]. Скорее всего, сильное легирование изовалентными примесями
изменяет условия образования как самого центра, так и его ассоциа-
ций, что в конечном итоге и приводит к наблюдаемым изменениям в
структуре КЭД. Существенное влияние на КЭД, по нашему мнению,
могут оказывать также различия в режимах выращивания монокри-
сталлов с разными уровнями легирования.

Авторы благодарят И.М. Тигиняну, любезно предоставившего эксп-
ериментальные образцы.

Список литературы

- [1] Y. Homma, M. Tomita, S. Kurosawa, S. Tohno. *Proc. III Int. Symp. on Defect Recognition and Image Processing for Research and Development of Semiconductors* (Tokyo, Japan, Sept. 22–25, 1989)
- [2] В.П. Калинушкин, В.А. Юрьев, Д.И. Мурин. ФТП, **25**, 798 (1990).
- [3] V.P. Kalinushkin, V.A. Yuryev, D.I. Murin, M.G. Ploppa. *Semicond. Sci. Technol.*, **7**, A252 (1992).
- [4] В.П. Калинушкин. Тр. ИОФАН (М.), **4**, 3 (1986).
- [5] В.В. Воронков, Г.И. Воронкова, Б.В. Зубов и др. ФТТ, **23**, 117 (1981).
- [6] С.Е. Заболотский, В.П. Калинушкин, М.Г. Плоппа, Т.М. Мурина. ПТЭ, № 4, 206 (1984).

Редактор Т.А. Полянская

**Large-scale accumulations of electrically active defects in InP : As
and InP : Ga single crystals**

V.A. Yuryev, V.P. Kalinushkin

Institute of General Physics, Russian Academy of Sciences, 117942 Moskow